

# 防波堤開口部の水理特性と捨石重量について

東北大学大学院 学生員 ○日比谷 穣  
 東北大学工学部 正員 岩崎 敏夫  
 東北大学工学部 学生員 堀越 伸幸

1. はじめに 津波に対する有効な防災施設である湾口防波堤の建設が、釜石湾において始められた。防波堤は、最深部D.L.-63m、港巾2100mの位置に造られ、中央部にD.L.-19m、幅50mの開口部が設置される。開口部は、潜堤構造となり、マウントを捨石でつくり、金網製セルで補強する構造となるが、津波来襲時に、著しい流速を生じ、マウント、被覆材の安定性が問題となる。そこで、本研究では、開口部模型を用いて、開口部付近の流れを調べ、マウント捨石の安定性について、検討を行った。

2. 実験方法 \*(模型I) 東北大学大型平面水槽に製作してある釜石湾模型（水平縮尺1/600、鉛直縮尺1/20）（図-1）において、湾口防波堤（図-2）を設置し、現地で周期10, 15, 16, 20分に相当する正弦波を10波造波し、図-2に示す位置で、抵抗線式波高計、プロペラ流速計（中3mm）を用いて、波高及び流速変動を測定した。沖波波高は、明治29年津波の釜石での最大痕跡高T.P.7.9mを含むよう各周期16分の沖波波高を求め、すべての周期についても、これを適用した。 \*(模型II) 平面水槽側壁添いに、縮尺1/200の釜石湾海底断面を模擬した。

直線水路（図-3）を作り、開口部断面（図-4）を、2種の碎石で製作し、模型工で計測された開口位置の流速が、実現できよう衝波波高で、模型工と同様に、フルード相似で求めた周期の波を、千波造波して、（図-2）に示す位置で、波高及び流速を測定した。また、一浪ごとに、押波引波終了時に、写真撮影と目視によって、碎石の移動状況を観察した。

3. 実験結果 及び 考察 開口部では、流れが強いことから、非線形長波の運動式の非定常項を無視して、両辺を積分すれば

$$U = \pm C \sqrt{2g} (\eta_1 - \eta_2) \quad (1)$$

を得る。ここで、U；水平流速、 $\eta_1, \eta_2$ ；堤外、堤内の水位、C；流量係数である。

\*(模型I) 周期20分の堤内外水位差 $\Delta\eta = \eta_1 - \eta_2$ 、流量係数C、開口部天端水深で定義したフルード数 $F_r$ への経時変化を（図-5）に示す。Cは、比較的一定の値をとっており、開口部で近似的に定常流の取り扱いができると考えられる。現象が比較的定常となる6~9波の、押波引波時の、Cと $F_r$ の関係を示したのが、（図-6）である。周期20分では、釜石の共振周期に近い値があり<sup>1)</sup>、漏損失のために、開口部からの流入量が抑制されて、長が小さくなる、といふと考えられる。（図-7）は、周期16分の開口部鉛直断面の最大流速分布であり、押波、引波で、最大流速の位置が変わること、波向きによる影響がでられる。（表-1）に、各周期において、計測された、断面中央水深での最大流速値を示す。

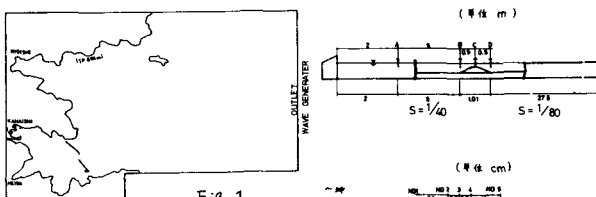


Fig. 1

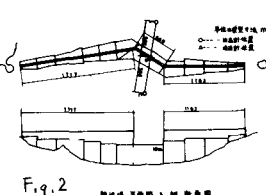


Fig. 2

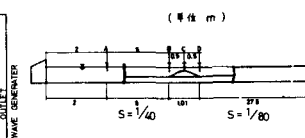


Fig. 3

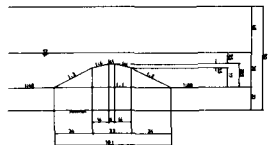


Fig. 4

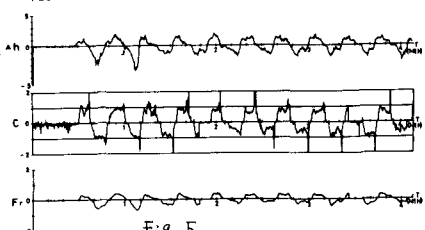
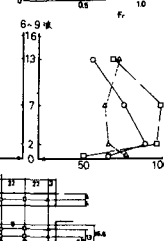
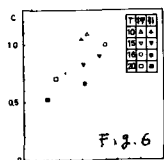


Fig. 5



\* (模型II) 模型Iと同様にして求めた、 $\phi 2.5 \sim 5.0\text{ mm}$  破砕石堤、周期20分の場合の $A$ ,  $C$ ,  $F_r$  の経時変化を(図-8)に示す。流量係数 $C$ は、模型Iに比べて、一定の値をとる時間が長く、横流入の効果が表れていふと考えられる。 $\phi 2.5 \sim 5.0\text{ mm}$  破砕石堤、周期10分の堤上1cmで、流速変動を(図-9)に示す。末端上で最大となるており、No.1, No.5の位置では、流れの上流側にあらず時のみ流速が出ていふ。この時、下流側では、目視によれば、1:2斜面上で、鉛直方向の後流が見られた。プロペラ流速計の感度は、 $2.5 \text{ cm/sec}$ 以上であるため、No.1, No.5で、この逆流を計測できなかつたと考えられる。

\* (碎石の安定について) Hudson は、被覆アーチの実用的な安定重量を与える式を示しているが、本実験のような場合、流速で安定重量を、評価する必要があると考える。一方、潮流による光場に対して、 $C, E, R, C$ が、重量算定式として、

$$W = \frac{\pi w u^6}{48 g^3 \gamma_0^6 (\gamma_{w0} - 1)^3 (\cos \theta - \sin \theta)^3} \quad (2)$$

を示している<sup>2)</sup>。ここで、 $g$ ; 重力加速度、 $u$ ; 掘石上面流速、 $\theta$ ; 斜面勾配、 $w_0$ ; 海水の単位体積重量、 $w$ ; 掘石の単位体積重量、 $W$ ; 掘石の安定重量である。 $\gamma_{w0}$ はイスバッシュ数で、埋め込まれた石に対して、1.2、露出した石に対して、0.86 と示してある。

(表-2) に示す諸量の碎石堤体ごと、造波して行なった結果、碎石の移動は、末端近くに限られており、引波時のみ、移動が見られた。(図-10) のように、被覆領域を3つに分け、その時の被覆率(移動した被覆碎石/総数)

と、堤体上1cmで、計測した最大流速との関係を(図-11, 12) に示す。番号は、何波目であるかを示してある。

$\phi 2.5 \sim 5.0\text{ mm}$  破砕石の場合、 $y = 0.86$  の時、式(2)

より求めた移動限界流速(表-2) 以下では、移動が見られず、式(2)が安定重量を与えていると考えられる。しかし、どちらの碎石の場合も、流速と被覆率には、明確な相関が見られなかつた。これは、移動碎石の撮影を、連続して

造波した1波ごとに進行、常にために、一波ごとの堤本末端附近の表面形状が、変化していく影響によるものと考えられる。また、千波の累積被覆率(表-3)を見ると、周期が長いほど、被覆率は増える傾向を示しており、流速の継続時間の効果が表れてゐると思われる。

4. あとがき 実験ケースが少なくて、明確な結論を得るにいたさなかつたが、 $\phi 2.5 \sim 5.0\text{ mm}$  破砕石の場合、(2) 式の適用ができると考えられる。しかし、イスバッシュ数は、6葉となるおり、この値の評価につけては、今後の検討を要する。

#### <参考文献>

- 岩崎敏夫・真野明・赤原隆生：金石・両石等を含む水域における津波の挙動に関する研究、23回海講、PP448～453、1976
- U.S.Army Coastal Engineering Research Center: SHORE PROTECTION MANUAL Vol II, PP213～217, 1977

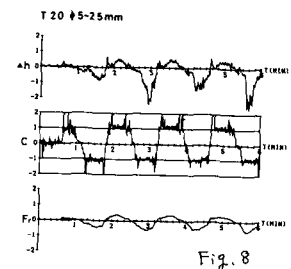


Fig. 8

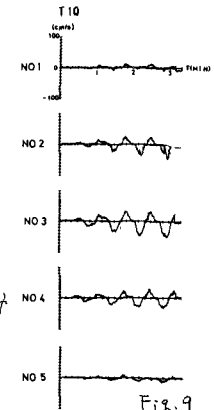


Fig. 9

$t$ (sec)	$w$ ( $\text{cm/sec}$ )	$w'$ ( $\text{cm/sec}$ )	$z$	$\theta$ (deg)	$V$ ( $\text{cm/sec}$ )
0.0	0.0	0.0	0	0	0.0
1.2	1.2	0.4	1	45	2.7 22
2.4	2.4	0.2	2	45	4.1 29
3.6	3.6	0.2	3	45	3.3 19
4.8	3.6	0	4	45	2.7 19
6.0	3.6	0.2	5	45	2.3 13
7.2	3.6	0	6	45	2.3 13
8.4	3.6	0	7	45	2.3 13
9.6	3.6	0	8	45	2.3 13
10.8	3.6	0	9	45	2.3 13
12.0	3.6	0	10	45	2.3 13
13.2	3.6	0	11	45	2.3 13
14.4	3.6	0	12	45	2.3 13
15.6	3.6	0	13	45	2.3 13
16.8	3.6	0	14	45	2.3 13
18.0	3.6	0	15	45	2.3 13
19.2	3.6	0	16	45	2.3 13
20.4	3.6	0	17	45	2.3 13

Table. 2

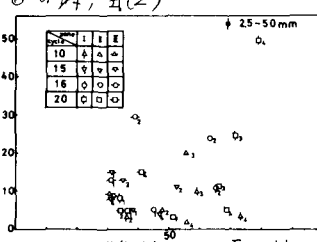


Fig. 11

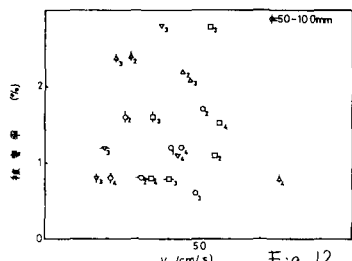


Fig. 12

周期	物性	平均被覆率 (%)	
		$\phi 10-5\text{mm}$	$\phi 5-25\text{mm}$
10	I	5.6	1.6
	II	3.3	2.7
	III	0	9
15	I	0.8	0
	II	3.9	2.0
	III	1.2	3.6
16	I	2.4	1.0
	II	4.5	3.0
	III	0.8	4.3
20	I	1.6	8.0
	II	5.4	1.9
	III	1.6	2.5

Table. 3